

$L^*/Y_{\text{immettere}}$	18.0/2.5	37.3/9.7	56.7/24.6	76.1/49.9	95.4/88.6	N_0 (min.)	W_I (max.)
(absoluta)							
$w^* - l^*_{\text{CIELAB}, r}$							
$w^*_{\text{immettere}}$	0,000	0,250	0,500	0,750	1,000	N_0 (min.)	W_I (max.)

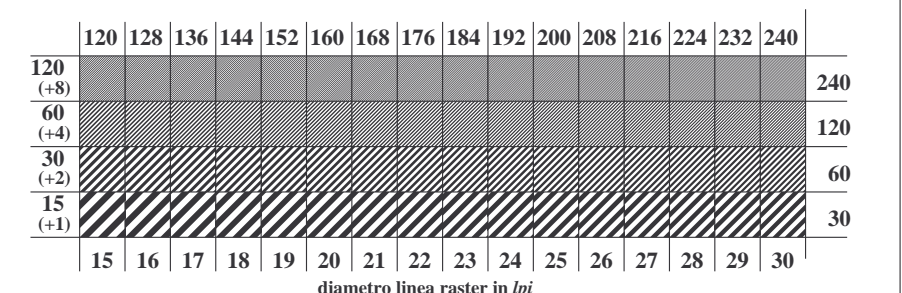
$L^*/Y_{\text{immettere}}$	18.0/2.5	23.2/3.8	28.3/5.6	33.5/7.8	38.6/10.5	43.8/13.7	49.0/17.6	54.1/22.1	59.3/27.3	64.4/33.3	69.6/40.2	74.8/47.9	79.9/56.5	85.1/66.2	90.2/76.8	95.4/88.6
(absoluta)																
N. e codice Hex	00;F	01;E	02;D	03;C	04;B	05;A	06;9	07;8	08;7	09;6	10;5	11;4	12;3	13;2	14;1	15;0
$w^* - l^*_{\text{CIELAB}, r}$																
$w^*_{\text{immettere}}$	0,000	0,067	0,133	0,200	0,267	0,333	0,400	0,467	0,533	0,600	0,667	0,733	0,800	0,867	0,933	1,000

lo sfondo passo	0		1 anello passo	0-1
codice esadecimale	7		8	7-8
	E		F	E-F
	2		0	2-0
	8		6	8-6
	F		D	F-D

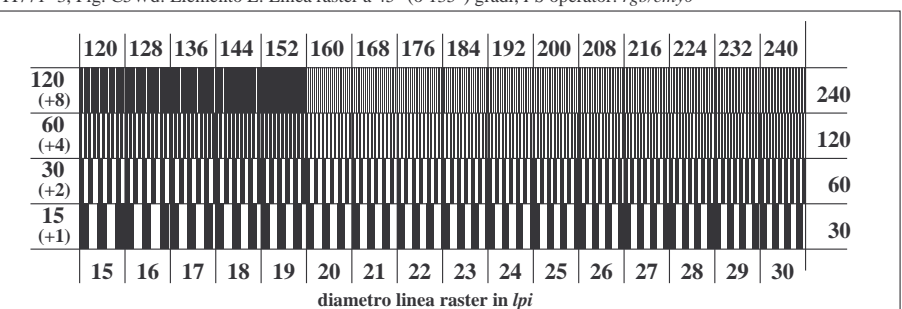
anelli di Landolt W-N

codice: sfondo-anello passo

TI771-1, Fig. C4Wd: Elemento D: anelli di Landolt W-N; PS operator: $rgb/cmby0$



TI771-3, Fig. C5Wd: Elemento E: Linea raster a 45° (o 135°) gradi; PS operator: $rgb/cmby0$



TI771-5, Fig. C6Wd: Elemento F: Linea raster a 90° (o 180°) gradi; PS operator: $rgb/cmby0$